

شناسایی مشاهدات دورافتاده در مدل رگرسیونی خطی-دایره‌ای

سیده صدیقه عظیمی، محمدرضا فریدروحانی

دانشگاه شهید بهشتی، دانشکده علوم ریاضی

پذیرش ۹۷/۰۹/۱۲

دریافت ۹۷/۰۳/۱۲

چکیده

یکی از راه‌های شناسایی مشاهدات دورافتاده در مدل‌های رگرسیونی، سنجش دوری مشاهدات از مقدار مورد انتظارشان تحت مدل برازش شده است. در مدل‌های رگرسیونی دایره‌ای-دایره‌ای، این شناسایی با استفاده از فاصله دایره‌ای امکان‌پذیر است. در این مقاله آماره اختلاف میانگین‌های خطای دایره‌ای که به وسیله ابوزید و همکاران [۱] برای شناسایی متغیر پاسخ دورافتاده در مدل رگرسیونی دایره‌ای-دایره‌ای ساده معرفی شده است، برای مدل رگرسیونی خطی-دایره‌ای به کار رفته و به روش شبیه‌سازی مونت کارلویی نقاط برینشی این آماره به دست آمده است. به علاوه با مطالعات شبیه‌سازی عملکرد این آماره بررسی شده است. در نهایت این آماره برای شناسایی پاسخ دورافتاده در داده سرعت و جهت باد ثبت شده در ایستگاه هواشناسی مهرآباد تهران به روش شبیه‌سازی خودگردان پارامتری به کار گرفته شده است.

واژه‌های کلیدی: مدل رگرسیونی خطی-دایره‌ای، مشاهده دورافتاده، آماره اختلاف میانگین‌های خطای دایره‌ای.

مقدمه

از مسائلی که آمارشناسان در تحلیل‌های آماری به آن توجه می‌کنند، شناسایی مشاهداتی است که دور از انتظار هستند. مشاهده دورافتاده را می‌توان به عنوان نقطه تنهایی که دور از دیگر مشاهدات است، تعریف کرد. یک مشاهده دورافتاده می‌تواند در اثر خطای اندازه‌گیری اتفاق بیافتد یا مقداری واقعی باشد که در پژوهش به دست آمده است [۲]. در هر دو حالت، شناسایی مشاهده دورافتاده اهمیت دارد زیرا اگر این مشاهده در اثر خطای اندازه‌گیری به دست آمده باشد، می‌توان آن را نادیده گرفت، اما اگر این مشاهده مقداری واقعی باشد، در این صورت شناسایی آن می‌تواند در تحلیل بهتر و پژوهش‌های آینده مفید واقع شود. بلسلی و همکاران [۳] با رویکرد حذف هر مشاهده در هر مرحله و بررسی تأثیر حذف آن مشاهده بر برآورد ضرایب مدل‌های رگرسیونی خطی به شناسایی مشاهدات دورافتاده پرداختند. هم‌چنین پژوهش‌های دیگری در این حوزه به وسیله بکمن و کوک [۴]، برنت و لوییز [۵] و مونت‌گومری و پک [۲] انجام شده است.

برای شناسایی مشاهدات دایره‌ای دورافتاده، با توجه به ویژگی تناوبی بودن این داده‌ها باید از معیارهایی استفاده کرد که این ویژگی لحاظ شود. اخیراً، پژوهش‌هایی برای شناسایی مشاهدات دورافتاده در مدل‌های رگرسیونی دایره‌ای-دایره‌ای انجام شده است. ابوزید و همکاران [۶] با تعریف جدیدی از مانده‌های دایره‌ای به شناسایی مشاهدات دورافتاده با استفاده از روش‌های نموداری و عددی در مدل رگرسیونی دایره‌ای-دایره‌ای ساده پرداختند. رامبلی و همکاران [۷] روش ارائه شده به وسیله ابوزید و همکاران [۶] را برای مدل رگرسیونی دایره‌ای-دایره‌ای که داونز و ماردیا [۸] معرفی کرده‌اند، تعمیم داده و به روش عددی به شناسایی مشاهدات مؤثر پرداختند. ابوزید و همکاران [۹] آماره COVRATIO را با رویکرد حذف هر مشاهده در هر مرحله و محاسبه ماتریس کوواریانس ضرایب مدل معرفی کردند.

*نویسنده مسئول sazimi04@gmail.com

و به شناسایی مشاهدات دورافتاده با استفاده از روش عددی در مدل رگرسیونی دایره‌ای-دایره‌ای ساده پرداختند. ابراهیم و همکاران [۱۰] با استفاده از آماره COVRATIO و به‌روش عددی در مدل رگرسیونی دایره‌ای-دایره‌ای که به‌وسیلهٔ جملامادکا و سارما [۱۱] معرفی شده است، شناسایی مشاهدات دورافتاده را بررسی کردند. ابوزید و همکاران [۱] با استفاده از آمارهٔ اختلاف میانگین‌های خطای دایره‌ای به شناسایی مشاهدات دورافتاده در مدل رگرسیونی دایره‌ای-دایره‌ای ساده پرداختند و با مطالعهٔ شبیه‌سازی نشان دادند این آماره برای شناسایی نقاط دورافتاده این مدل مناسب است. رامیلی و همکاران [۱۲] با استفاده از آمارهٔ COVRATIO در مدل رگرسیونی دایره‌ای-دایره‌ای که به‌وسیلهٔ داووز و ماردیا [۸] معرفی شده است، شناسایی مشاهدات دورافتاده را بررسی کردند.

با توجه به اهمیت شناسایی مشاهدات دورافتاده در مدل رگرسیونی خطی-دایره‌ای، در این مقاله به شناسایی مشاهدات دورافتاده با استفاده از آمارهٔ اختلاف میانگین‌های خطای دایره‌ای در مدل رگرسیونی خطی-دایره‌ای پرداختیم. بدین منظور در بخش دوم مدل رگرسیونی خطی-دایره‌ای و برآورد بیشینهٔ درست‌نمایی پارامترهای آن که به‌وسیلهٔ فیشر و لی [۱۵] معرفی شده است را مرور می‌کنیم. در بخش سوم با تعریف آمارهٔ اختلاف میانگین‌های خطای دایره‌ای که ابوزید و همکاران [۱] معرفی کرده‌اند، برخی از چندک‌های توزیع این آماره را با استفاده از روش مونت‌کارلویی برای مدل رگرسیونی خطی-دایره‌ای به‌دست آورده و توان این آماره را براساس تغییرات اندازهٔ نمونه و پارامتر تمرکز بررسی می‌کنیم. در نهایت در بخش آخر با استفاده از این آماره به جست‌وجوی مشاهدهٔ دورافتاده در یک مجموعه دادهٔ واقعی هواشناسی با روش خودگردان پارامتری می‌پردازیم.

مدل رگرسیونی خطی - دایره‌ای

در برخی از حوزه‌های علمی مانند زیست‌شناسی و جغرافیا هدف بررسی رابطهٔ بین متغیرهای خطی و دایره‌ای است. برای مثال در بررسی رابطهٔ جهت حرکت و فاصلهٔ حرکت حیوانات از مبدا تا مقصد معینی و یا در بررسی رابطهٔ جهت باد و سرعت آن در ایستگاه‌های هواشناسی چنین رابطه‌ای وجود دارد. اولین بار مدل رگرسیونی خطی-دایره‌ای به‌وسیلهٔ گولد [۱۳] ارائه شد. جانسون و ورلی [۱۴] با نشان دادن شناسان‌پذیری مدل گولد، مدل جدیدی با یک متغیر پیشگو برای میانگین سوئی پیشنهاد دادند که در آن متغیر پاسخ Θ به شرط متغیر پیشگوی x دارای توزیع فون‌میزس با میانگین سوئی $\mu + 2\pi F(x)$ و پارامتر تمرکز K است که در آن μ و $F(x)$ به‌ترتیب عرض از مبدأ مدل و تابع توزیع تجمعی متغیر خطی X هستند. فیشر و لی [۱۵] تعمیم مدل رگرسیونی جانسون و ورلی [۱۴] را برای بیش از یک متغیر پیشگو ارائه کردند.

فرض کنید $\Theta_i, i = 1, \dots, n$ ، متغیرهای تصادفی مستقل باشند که دارای توزیع فون‌میزس با پارامتر میانگین سوئی μ و پارامتر تمرکز K هستند. فیشر و لی [۱۵] مدل رگرسیونی جانسون و ورلی [۱۴] را به‌صورت (۱) تعمیم دادند:

$$E(\Theta_i | x) = \mu_i = \mu + g(\beta' x_i) \quad (1)$$

که در آن بردار x_i بردار i ام متغیرهای پیشگو و β بردار ضرایب رگرسیونی با k مؤلفه است. تابع $g(\cdot)$ خط حقیقی را بر بازهٔ $[0, 2\pi)$ تصویر می‌کند. بنابراین یک انتخاب برای تابع $g(x)$ می‌تواند تابع $\arctan(x)$ باشد. از این‌رو، مدل رگرسیونی خطی-دایره‌ای را می‌توان به‌صورت (۲) در نظر گرفت:

$$\Theta_i = \mu + 2 \arctan(\beta' x_i) + \varepsilon_i \quad (2)$$

که در آن ε_i دارای توزیع فون‌میزس با پارامتر میانگین سوئی صفر و پارامتر تمرکز K است.

۱. برآورد بیشینه درست‌نمایی پارامترهای مدل (۱)

فرض کنید $\theta_i, i=1, \dots, n$ ، نمونه‌ای مستقل تحت مدل (۱) باشد که در آن g تابعی معلوم است. لگاریتم تابع درست‌نمایی این نمونه متناسب است با

$$l \propto -n \log(I_0(\kappa)) + \kappa \sum_{i=1}^n \cos(\theta_i - \mu - g(\beta' \underline{x}_i)) \quad (3)$$

که در آن $I_0(\kappa)$ تابع بسل اصلاح شده نوع اول و از مرتبه صفر است. برای μ و κ ثابت

از لگاریتم تابع درست‌نمایی (۳) نسبت به بردار β مشتق می‌گیریم

$$\frac{\partial l}{\partial \beta} = \left[\frac{\partial g(\beta' \underline{x}_i)}{\partial \beta_j} \right]_{j \times i} \times u$$

که در آن

$$\frac{\partial g(\beta' \underline{x}_i)}{\partial \beta_j} = x_{ij} g'(\beta' \underline{x}_i), \quad i=1, \dots, n, \quad j=1, \dots, k$$

و

$$u' = (u_1, \dots, u_n), \quad u_i = \sin(\theta_i - \mu - g(\beta' \underline{x}_i))$$

بنابراین برای یافتن برآورد بیشینه درست‌نمایی پارامتر β باید معادلات درست‌نمایی

$$\frac{\partial l}{\partial \beta} = \kappa X' G u = 0$$

حل شود که در آن X ماتریس متغیرهای پیشگو، $G_{n \times n} = \text{diag}(g'(\beta' \underline{x}_1), \dots, g'(\beta' \underline{x}_n))$ و G' مشتق تابع g است. از آن جا که حل این دستگاه به صورت عددی انجام می‌شود، می‌توان از روش تقریب تابع امتیاز برای حل آن استفاده کرد.

در روش امتیاز فیشر از بسط تیلور $\frac{\partial l}{\partial \beta}$ تا مرتبه دوم استفاده می‌شود. بر این اساس الگوریتم بازگشتی (۴)

$$\beta_{m+1} = \beta_m + (X' G^2 X)^{-1} (X' G^2 y), \quad m=0, 1, 2, \dots \quad (4)$$

برای تقریب زدن برآورد بیشینه درست‌نمایی بردار β به دست می‌آید که در آن

$$y' = (y_1, \dots, y_n), \quad y_i = \frac{u_i}{A(\kappa) g'(\beta' \underline{x}_i)}$$

که $A(\kappa) = \frac{I_1(\kappa)}{I_0(\kappa)}$ و $I_1(\kappa)$ تابع بسل اصلاح شده نوع اول و از مرتبه یک است. مجدداً برای κ و β ثابت و با

مشتق‌گیری از لگاریتم تابع درست‌نمایی (۳) نسبت به μ ، برآورد بیشینه درست‌نمایی پارامتر μ از روابط

$$\bar{R} \sin \hat{\mu} = \frac{1}{n} \sum_{i=1}^n \sin \theta_i, \quad \bar{R} \cos \hat{\mu} = \frac{1}{n} \sum_{i=1}^n \cos \theta_i \quad (5)$$

به دست می‌آید یا به طور معادل $\hat{\mu}$ برابر میانگین سویی نمونه‌ای است. برآورد بیشینه درست‌نمایی κ با فرض ثابت بودن μ و κ نیز عبارت است از:

$$\hat{\kappa} = A^{-1}(\bar{R}). \quad (6)$$

بنابراین با آغاز از β_0 و μ_0 به صورت تکراری و به ترتیب با استفاده از برابری‌های (۴)، (۵) و (۶) برآورد بیشینه درست‌نمایی پارامترها به دست می‌آید.

آماره میانگین خطای دایره‌ای و تعیین نقاط برینشی آن

ابوزید و همکاران [۱] برای شناسایی متغیر پاسخ دورافتاده در مدل رگرسیونی دایره‌ای-دایره‌ای ساده، با رویکرد حذف هر مشاهده آماره میانگین خطای دایره‌ای که به اختصار با نماد MCE^1 نشان داده می‌شود را به صورت

$$MCE = 1 - \frac{1}{n} \sum_{i=1}^n \cos(\theta_i - \hat{\theta}_i)$$

معرفی کردند که در آن n اندازه نمونه و $\hat{\theta}_i$ برآورد θ_i از مدل رگرسیونی دایره‌ای-دایره‌ای است. توجه کنید که $MCE \in [0, 2\pi)$. آماره MCE نوعی میانگین حسابی است که نسبت به وجود مشاهده دورافتاده استوار نیست. به طوری که اگر مشاهده θ_i دورافتاده باشد، انتظار می‌رود فاصله دایره‌ای بین θ_i و $\hat{\theta}_i$ بزرگ شود. بنابراین وجود چنین مشاهده‌ای بین داده‌ها باعث افزایش مجموع فاصله‌های دایره‌ای و در نتیجه آماره MCE می‌شود. پس با حذف این مشاهده از مجموعه داده‌ها مقدار آماره MCE کاهش می‌یابد. اگر $MCE_{(-i)}$ آماره میانگین خطای دایره‌ای با حذف مشاهده i ام باشد، بیشینه قدر مطلق اختلاف بین آماره MCE و $MCE_{(-i)}$ به صورت

$$DMCE = \max_i \{ |MCE - MCE_{(-i)}| \}$$

یعنی اختلاف میانگین‌های خطای دایره‌ای تعریف می‌شود. اگر آماره $DMCE^2$ از نقطه برینشی توزیع خود تجاوز کند، آن‌گاه j امین پاسخ دورافتاده است اگر

$$j = \arg \max_i \{ |MCE - MCE_{(-i)}| \}.$$

آماره $DMCE$ برای شناسایی مشاهدات دورافتاده در مدل‌های رگرسیونی که متغیر پاسخ آن‌ها دایره‌ای است، استفاده می‌شود. در این بخش آماره $DMCE$ را برای شناسایی مشاهدات دورافتاده در مدل رگرسیونی خطی-دایره‌ای (۲) به کار می‌بریم. برای این منظور ابتدا باید نقاط برینشی توزیع این آماره محاسبه شود. این نقاط را با استفاده از شبیه‌سازی مونت کارلویی به دست آورده و سپس توان عملکرد آن در شناسایی مشاهدات دورافتاده بررسی می‌شود. همچنین با استفاده از این آماره الگوریتمی برای شناسایی مشاهدات دورافتاده در داده‌های واقعی با استفاده از روش خودگردان پارامتری ارائه می‌شود.

۱. تعیین نقاط برینشی آماره میانگین خطای دایره‌ای

فرض کنید نمونه تصادفی $(\theta_1, x_1), \dots, (\theta_n, x_n)$ از متغیرهای تصادفی (Θ, X) در اختیار باشد که در آن X و Θ به ترتیب متغیرهای تصادفی خطی و دایره‌ای هستند. مدل رگرسیونی خطی-دایره‌ای (۲) را در نظر بگیرید. در ادامه ابتدا نقاط برینشی آماره $DMCE$ را با روش شبیه‌سازی مونت کارلویی به دست می‌آوریم. این بررسی به‌ازای ۱۰ اندازه نمونه $n = 10, 20, 30, 40, 50, 70, \dots, 150$ و پارامترهای تمرکز $\kappa = 1, 2, 5, 7, 10$ اجرا می‌شود. مدل رگرسیونی خطی-دایره‌ای (۲) یک مدل رگرسیونی چندگانه است. در این پژوهش، شبیه‌سازی را فقط با یک متغیر پیشگو انجام داده‌ایم. الگوریتم شبیه‌سازی بدین صورت است:

الگوریتم ۱ (شبیه‌سازی نقاط برینشی به روش مونت کارلویی)

۱. برای هر اندازه نمونه n ، خطاهای تصادفی دایره‌ای از توزیع فون میزس با میانگین صفر و پارامتر تمرکز معین κ را تولید کنید،

1. Mean Circular Error

2. Difference of Means Circular Error

۲. از توزیع نرمال با میانگین صفر و انحراف معیار دو برای متغیر تصادفی خطی X نیز نمونه‌ای تصادفی به اندازه n تولید کنید،

۳. پارامترهای مدل رگرسیونی خطی-دایره‌ای (۲) را $\mu = \mu_0$ و $\beta = \beta_0$ در نظر بگیرید که μ_0 و β_0 معلوم هستند. مقدار مشاهدات θ_i را با قرار دادن مشاهدات تولید شده (x_i, e_i) در گام یک و دو از مدل (۲) به دست آورید.

۴. بر اساس (θ_i, x_i) های تولید شده در گام دو و سه، برآوردهای بیشینه درست‌نمایی پارامترها و در نتیجه مقدار برازش داده شده $\hat{\theta}_i$ را به دست آورید،

۵. آماره MCE را از کل مشاهدات به دست آورید. سپس با استفاده از مدل رگرسیونی (۲) با حذف i امین مشاهده $MCE_{(-i)}$ آماره $MCE_{(-i)}$ را محاسبه کرده و در نهایت آماره $DMCE$ را به دست آورید.

۶. با تکرار گام‌های یک تا پنج به تعداد از پیش تعیین شده M و براساس $DMCE$ های تولید شده در گام پنجم چندک $(1-\alpha)$ ام را به صورت $q = [M(1-\alpha)]$ به دست آورید.

اینک الگوریتم ۱ را $M=2000$ بار برای هر ترکیب معین n و K تکرار می‌کنیم. نتیجه این شبیه‌سازی یعنی مقدار چندک‌های ۹۰٪، ۹۵٪ و ۹۹٪ برای ترکیب‌های n و K به‌ازای $\mu_0 = 0$ و $\beta_0 = 1$ در جدول ۱ آمده است.

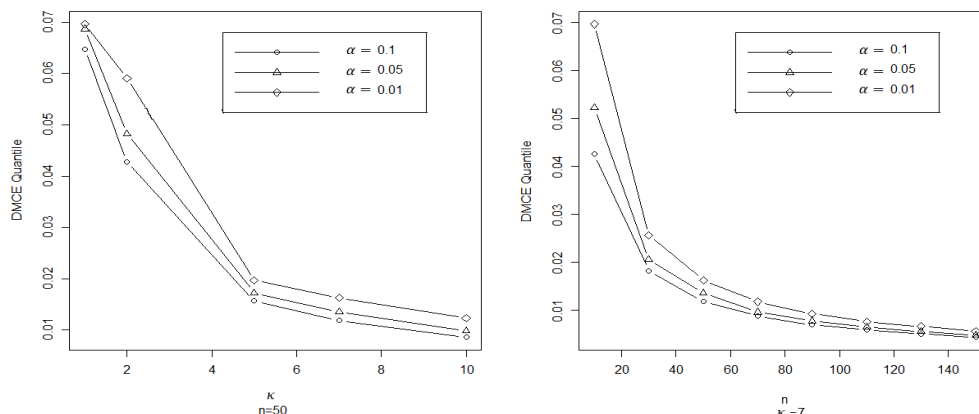
جدول ۱. چندک‌های شبیه‌سازی شده توزیع آماره $DMCE$

K	۱			۲			۵		
	٪۹۹	٪۹۵	٪۹۰	٪۹۹	٪۹۵	٪۹۰	٪۹۹	٪۹۵	٪۹۰
۱۰	۰/۱۲۴۵	۰/۱۳۵۸	۰/۱۵۷۹	۰/۱۱۶۰	۰/۱۱۹۰	۰/۱۳۴۰	۰/۰۶۲۹	۰/۰۷۴۴	۰/۰۹۹
۲۰	۰/۰۸۵۳	۰/۰۹۱۸	۰/۱۰۲۳	۰/۰۵۹۱	۰/۰۶۹۹	۰/۰۸۹۴	۰/۰۲۵۲	۰/۰۴۰۷	۰/۰۵۰۵
۳۰	۰/۰۷۵۲	۰/۰۸۰۹	۰/۰۹۱۲	۰/۰۵۰۸	۰/۰۵۷۸	۰/۰۷۲۵	۰/۰۲۴۵	۰/۰۳۷۱	۰/۰۳۲۷
۴۰	۰/۰۶۷۰	۰/۰۷۱۳	۰/۰۸۲۱	۰/۰۴۴۸	۰/۰۵۰۱	۰/۰۶۳۲	۰/۰۱۹۴	۰/۰۲۱۹	۰/۰۲۵۱
۵۰	۰/۰۶۴۷	۰/۰۶۸۷	۰/۰۶۹۶	۰/۰۴۲۸	۰/۰۴۸۲	۰/۰۵۹۰	۰/۰۱۵۷	۰/۰۱۷۲	۰/۰۱۹۷
۷۰	۰/۰۵۸۹	۰/۰۶۲۸	۰/۰۶۸۸	۰/۰۳۸۶	۰/۰۴۲۸	۰/۰۵۱۰	۰/۰۱۱۲	۰/۰۱۲۶	۰/۰۱۴۱
۹۰	۰/۰۵۶۰	۰/۰۵۹	۰/۰۶۳۷	۰/۰۳۶۱	۰/۰۴۰۰	۰/۰۴۶۲	۰/۰۰۸۷	۰/۰۰۹۷	۰/۰۱۰۸
۱۱۰	۰/۰۵۳۴	۰/۰۵۶۰	۰/۰۶۰۹	۰/۰۳۴۹	۰/۰۳۸۰	۰/۰۴۲۵	۰/۰۰۷۲	۰/۰۰۷۷	۰/۰۰۸۸
۱۳۰	۰/۰۵۲۵	۰/۰۵۴۵	۰/۰۵۹۹	۰/۰۳۴۰	۰/۰۳۶۴	۰/۰۴۰۷	۰/۰۰۶۰	۰/۰۰۶۵	۰/۰۰۷۳
۱۵۰	۰/۰۵۱۴	۰/۰۵۳۸	۰/۰۵۸۵	۰/۰۳۲۸	۰/۰۳۵۰	۰/۰۴۰۴	۰/۰۰۵۲	۰/۰۰۵۶	۰/۰۰۷۰

ادامه جدول ۱

K	۷			۱۰		
	٪۹۹	٪۹۵	٪۹۰	٪۹۹	٪۹۵	٪۹۰
۱۰	۰/۰۴۲۶	۰/۰۵۲۱	۰/۰۶۹۵	۰/۰۳۱۳	۰/۰۳۸۲	۰/۰۸۳۵
۲۰	۰/۰۲۵۹	۰/۰۳۰۳	۰/۰۳۸۷	۰/۰۱۷۱۰	۰/۰۲۰۶	۰/۰۲۷۶
۳۰	۰/۰۱۸۲	۰/۰۲۰۶	۰/۰۲۵۶	۰/۰۱۳۰	۰/۰۱۵۱	۰/۰۲۰۰
۴۰	۰/۰۱۴۰	۰/۰۱۶۲	۰/۰۲۰۵	۰/۰۱۰۳	۰/۰۱۱۷	۰/۰۱۵۲
۵۰	۰/۰۱۱۸	۰/۰۱۳۶	۰/۰۱۶۳	۰/۰۰۸۶	۰/۰۰۹۹	۰/۰۱۲۳
۷۰	۰/۰۰۸۷	۰/۰۰۹۶	۰/۰۱۱۷	۰/۰۰۶۵	۰/۰۰۷۳	۰/۰۰۹۲
۹۰	۰/۰۰۶۹	۰/۰۰۷۷	۰/۰۰۹۳	۰/۰۰۵۲	۰/۰۰۶۰	۰/۰۰۷۲
۱۱۰	۰/۰۰۵۸	۰/۰۰۶۵	۰/۰۰۷۶	۰/۰۰۴۳	۰/۰۰۴۹	۰/۰۰۶۳
۱۳۰	۰/۰۰۵۱	۰/۰۰۵۶	۰/۰۰۶۶	۰/۰۰۳۷	۰/۰۰۴۲	۰/۰۰۵۵
۱۵۰	۰/۰۰۴۴	۰/۰۰۴۸	۰/۰۰۵۶	۰/۰۰۳۳	۰/۰۰۳۶	۰/۰۰۴۴

شکل ۱ چندک‌های ۰/۹۰، ۰/۹۵ و ۰/۹۹ آماره $DMCE$ را به‌ازای دو حالت $\kappa = 7$ و n ‌های مختلف و $n = 50$ و κ ‌های مختلف نشان می‌دهد. چنان‌که ملاحظه می‌شود چندک‌های این آماره برای $n\kappa$ ثابت تابع کاهشی نسبت $n\kappa$ است.



شکل ۱. نمودار چندک‌های ۰/۹۰، ۰/۹۵ و ۰/۹۹ آماره $DMCE$ راست: به‌ازای $\kappa = 7$ و n ‌های مختلف چپ: به‌ازای $n = 50$ و κ ‌های مختلف

از آن‌جاکه در تحلیل داده‌های واقعی استفاده از الگوریتم ۱ برای یافتن نقاط برینشی منطقی به‌نظر نمی‌رسد، ضروری است پس از برازش مدل رگرسیونی خطی-دایره‌ای به داده‌های واقعی از روش خودگردان پارامتری برای این منظور بهره‌گرفت. در ادامه چگونگی یافتن نقاط برینشی در تحلیل داده‌های واقعی، بر اساس الگوریتم زیر بیان می‌شود:

الگوریتم ۲ (شبیه‌سازی نقاط برینشی براساس داده واقعی به روش خودگردان پارامتری)

۱. مدل رگرسیونی خطی-دایره‌ای (۲) را به مجموعه داده‌ها برازش دهید و پارامترهای برآورد شده این مدل را $\hat{\mu}$ ، $\hat{\beta}$ و \hat{K} بنامید،
 ۲. نمونه به اندازه n ، از خطاهای تصادفی دایره‌ای از توزیع فون میزس با میانگین صفر و پارامتر تمرکز \hat{K} تولید کنید،
 ۳. براساس نمونه‌های تولید شده از گام دو، θ_i ‌ها را با استفاده از مدل ۲ و پارامترهای برآورد شده در گام اول تولید کنید،
 ۴. براساس متغیر پیشگو X_i و θ_i ‌های تولید شده در گام سه، برآوردهای بیشینه درست‌نمایی پارامترها و در نتیجه مقدار برازش داده شده $\hat{\theta}_i$ را به‌دست آورید،
 ۵. آماره MCE را از کل مشاهدات به‌دست آورید. سپس با استفاده از مدل رگرسیونی (۲) با حذف i امین مشاهده $MCE_{(-i)}$ آماره $MCE_{(-i)}$ را محاسبه کرده و در نهایت آماره $DMCE$ را به‌دست آورید،
 ۶. با تکرار گام‌های دو تا پنج به تعداد از پیش تعیین شده B و براساس $DMCE$ ‌های تولید شده در گام ششم چندک $(1-\alpha)$ ام را به‌صورت $q = [B(1-\alpha)]$ به‌دست آورید.
- در بخش پنجم به‌منظور شناسایی مشاهدات دورافتاده در مجموعه داده واقعی هواشناسی، از این الگوریتم برای یافتن نقاط برینشی آماره $DMCE$ استفاده شده است.

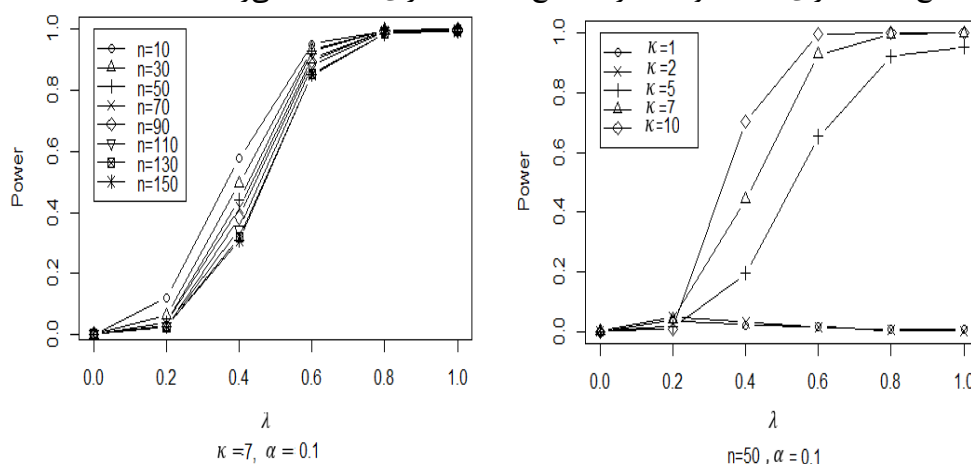
۲. بررسی توان آماره میانگین خطای دایره‌ای

برای بررسی توان آماره $DMCE$ تحت مدل رگرسیونی خطی-دایره‌ای (۲)، ابتدا n مشاهده از (Θ, X) تحت مدل (۲) با اجرای گام‌های یک تا چهار الگوریتم ۱ تولید می‌کنیم. سپس از میان آنها، m مشاهده، $1 \leq m \leq n$ ، را تحت مدل

$$\theta_d^* = \theta_d + \lambda\pi(\text{mod } 2\pi), \quad d = 1, 2, \dots, m$$

آلوده می‌کنیم. λ میزان آلودگی مشاهده d ام است، به طوری که $0 \leq \lambda \leq 1$. اگر $\lambda = 0$ ، در این صورت در موقعیت d ام یک مشاهده غیر دورافتاده تولید می‌شود. در حالی که $\lambda = 1$ ، θ_d^* در مکان پادمد θ_d قرار می‌گیرد. اینک مقدار آماره $DMCE$ را با استفاده از الگوریتم ۱، به دست می‌آوریم. با ۲۰۰۰ بار تکرار این فرآیند، عملکرد آماره $DMCE$ را با معیار درصد شناسایی درست مشاهده دورافتاده در ۲۰۰۰ بار تکرار بررسی می‌شود.

توان عملکرد این آماره را برای $m = 1$ بررسی کرده‌ایم. نتایج برای $n = 50$ و $K = 1, 2, 5, 7, 10$ در شکل ۲ (راست) نشان داده شده است. توان این آماره برای مقادیر کوچک K ، برای مثال $K < 2$ ، نزدیک صفر است. اما به طور کلی برای مقادیر بزرگ K توان عملکرد این آماره با افزایش λ افزایش می‌یابد که این نتیجه با توجه به افزایش اختلاف مقدار مشاهده شده و مقدار برازش شده (با افزایش λ) قابل انتظار است. برای $\lambda < 0.2$ توان عملکرد پایین است و برای مقادیر بزرگ تر λ توان عملکرد آماره افزایش می‌یابد. به طور کلی برای مقدار $\lambda > 0.6$ توان عملکرد این آماره حداقل به سطح ۰.۶۰ (به ازای $K = 5$) و حداکثر به سطح ۰.۹۹/۹ (به ازای $K = 10$) می‌رسد.



شکل ۲. نمودار توان چندک $\alpha = 0.1$ ام آماره $DMCE$ نسبت به سطح آلودگی λ راست: به ازای $n = 50$ و

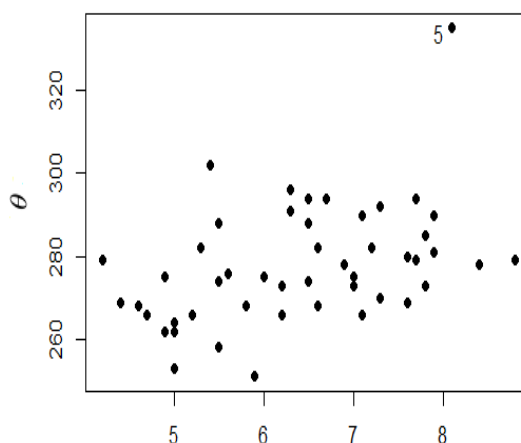
$K = 1, 2, 5, 7, 10$ چپ: به ازای مقادیر مختلف n و $K = 7$

در شکل ۲ (چپ) توان عملکرد آماره به ازای $K = 7$ و مقادیر مختلف n نشان داده شده است. چنان که ملاحظه می‌شود نتایج این شکل نیز مشابه نتایج شکل ۲ (راست) است. برای $\lambda < 0.2$ توان عملکرد پایین است (حداکثر ۰/۱)، حال آن که مقادیر بزرگ تر λ توان عملکرد آماره را افزایش می‌دهد. چنان که در این شکل ملاحظه می‌شود با افزایش n به ازای یک λ ثابت و معلوم $m = 1$ توان عملکرد آماره کاهش می‌یابد. این رفتار ناشی از این واقعیت است که با افزایش n ، سهم تک مشاهده آلوده از کل مشاهدات کاهش یافته و از این رو، تأثیر این مشاهده در کل مشاهدات کم می‌شود.

جست‌وجوی نقاط دورافتاده در داده‌های هواشناسی

ایستگاه هواشناسی مهرآباد شهر تهران در عرض جغرافیایی ۳۵۴۱ شمالی و طول جغرافیایی ۵۱۱۹ شرقی و در ارتفاع ۱۱۹۰/۸ متر از سطح دریا واقع شده است. این ایستگاه به عنوان ایستگاه مبنای شهر تهران شناخته شده است. در بررسی‌های هواشناسی به نظر می‌رسد سرعت باد بر جهت باد تأثیر داشته باشد. از این رو، میانگین جهت باد و میانگین سرعت باد در ماه مارس طی سال‌های ۱۹۵۱ تا ۲۰۰۰ میلادی (۵۰ مشاهده مستقل) را به ترتیب به واحدهای درجه و گره (هر گره معادل ۱۸۵۲ متر) در این ایستگاه در نظر گرفته‌ایم. این داده‌ها در بانک اطلاعات داده‌های

هواشناسی به آدرس اینترنتی <http://www.iranhydrology.net/meteo/meteo.htm> در دسترس است. میانگین جهت باد یک متغیر دایره‌ای و میانگین سرعت باد یک متغیر خطی است که به ترتیب با نمادهای $\theta \in [0, 360^\circ)$ و $x \in \mathbb{R}$ نمایش می‌دهیم. در این بخش هدف شناسایی مشاهدات دورافتاده در این مجموعه داده است. با رسم نمودار پراکنش x در مقابل θ (شکل ۳) به نظر می‌رسد بین این دو متغیر رابطه وجود دارد. هم‌چنین به نظر می‌رسد مشاهده پنجم از سایر مجموعه مشاهدات میانگین جهت باد دورتر است و احتمالاً مشاهده دورافتاده است. بنابراین مدل (۲) را به این مجموعه داده برازش می‌دهیم و وجود مشاهده دورافتاده در این مجموعه داده را با استفاده از آماره $DMCE$ بررسی می‌کنیم.



شکل ۳. نمودار پراکنش متغیر پاسخ دایره‌ای (θ) در مقابل متغیر پیشگوی خطی (x)

ابتدا با استفاده از آماره واتسون، که واتسون [۱۶] معرفی کرده است، فرض صفر دارای توزیع فون میزس بودن متغیر θ را می‌آزماییم. چون مقدار آماره این آزمون $W = 0.0806$ از نقطه بحرانی در سطح پنج درصد (۰/۱۱۷) کوچک‌تر است، فرض این که متغیر θ دارای توزیع فون میزس است، معنی‌دار است.

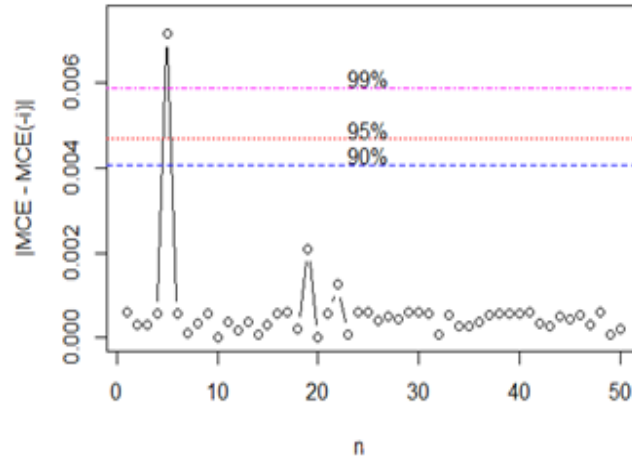
با برازش مدل (۲) به داده‌ها، برآورد بیشینه درست‌نمایی پارامترهای مدل برابر است با:

$$\hat{\mu} = 245/8668^\circ, \quad \hat{\beta} = 0.0442, \quad \hat{\kappa} = 21/25.$$

اینک با استفاده از آماره $DMCE$ به بررسی وجود مشاهده دورافتاده در این مجموعه داده می‌پردازیم. در شکل ۴ مقادیر $|MCE - MCE_{(-i)}|$ به‌زای $i = 1, \dots, 50$ رسم شده است. هم‌چنین با $B = 50$ بار تکرار الگوریتم ۲ چندک‌های تجربی ۹۰، ۹۵ و ۹۹ درصد توزیع آماره $DMCE$ تحت مدل رگرسیونی

$$\theta_i = 245/8668 + 2 \arctan(0.0442 x_i) + \varepsilon_i$$

که در آن ε_i دارای توزیع فون میزس با پارامتر میانگین سویی صفر و پارامتر تمرکز $21/25$ است، به ترتیب برابر 0.0047 ، 0.0059 و 0.0041 به دست آمده است. چنان‌که در شکل ۴ ملاحظه می‌شود مقدار آماره $|MCE - MCE_{(-5)}|$ از چندک‌های آماره $DMCE$ بزرگ‌تر است. بنابراین با استفاده از این آماره مشاهده پنجم یک نقطه دورافتاده است. این نتیجه با ملاحظه نمودار پراکنش x در مقابل θ_i در شکل ۳ نیز منطقی به نظر می‌رسد.



شکل ۴. آماره $DMCE$ برای متغیر پاسخ θ و چندک‌های توزیع این آماره برای داده‌های هواشناسی

بحث و نتیجه‌گیری

در این مقاله نقاط برینشی آماره $DMCE$ در یک مدل رگرسیونی خطی-دایره‌ای را به روش شبیه‌سازی مونت‌کارلویی به‌دست آوردیم. این نقاط با فرض ثابت بودن nK ، نسبت به n کاهشی بودند. هم‌چنین در پژوهش‌های شبیه‌سازی بررسی شد که توان این آماره برای مقادیر بزرگ k (میزان آلودگی) به‌ازای مقادیر مختلف n و مقادیر بزرگ k نزدیک یک به‌دست آمد. با استفاده از آماره مزبور برای یک مجموعه از داده‌های واقعی، مشاهده‌ای دورافتاده شناسایی شد که با توجه به نمودار پراکنش داده‌ها، تشخیص موجهی به نظر می‌رسد از این‌رو، عملکرد این آماره در مواجهه با داده‌های واقعی نیز مطلوب است. به‌عنوان یک موضوع پژوهشی می‌توان آماره $COVRATIO$ را نیز برای شناسایی نقاط دورافتاده در مدل رگرسیونی خطی-دایره‌ای بررسی کرد و توان آن را با آماره $DMCE$ مقایسه کرد.

منابع

1. Abuzaid A. H., Hussin A. G., Mohamed I. B., "Detection of outliers in simple circular regression models using the mean circular error statistic", *Journal of Statistical Computation and Simulation*, 83:2 (2013) 269-277.
2. Montgomery D. C., Peck E. A., "Introduction to linear regression analysis", 2nd Edition, New York: Wiley (1992).
3. Belsley D.A., Kuh E., Welsch R.E., "Regression Diagnostics: Identifying Influential Data and Sources of Collinear it", New York: John Wiley & Sons (1980).
4. Beckman R. J., Cook R. D., "Outliers", *Technometrics*, 25 (2) (1983) 119-149.
5. Barnett V., Lewis T., "Outliers in statistical data", New York: John Wiley & Sons (1984).
6. Abuzaid A. H., Hussin A. G., Mohamed I. B., "Identifying single outlier in linear circular regression model based on circular distance", *Journal of Applied Probability and Statistics*, 3 (1) (2008) 107-117.

7. Rambli A. B., Mohamed I., Abuzaid A. H., Hussin, A. G., "Identification of Influential Observations in Circular Regression Model", Proceedings of the Regional Conference on Statistical Sciences (RCSS'10) (2010) 195-203.
8. Downs T. D., Mardia K.V., "Circular regression", *Biometrika*, 89(3) (2002) 683-697.
9. Abuzaid A. H., Mohamed I. B., Hussin A. G., Rambli A., "Covratio statistic for simple circular regression model", *Chiang Mai J. Sci.*, 38(3) (2011) 321-330.
10. Ibrahim S., Rambli A., Hussin A.G., Mohamed I., "Outlier detection in a circular regression model using COVRATIO statistic", *Communications in Statistics-Simulation and Computation*, 42 (10) (2013) 2272-2280.
11. Jammalamadaka S. R., Sarma Y. R., "Circular regression. In *Statistical Sciences and Data Analysis*", edited by Matusita, K. Utrecht: VSP. (1993) 109-128.
12. Rambli A., Yunus R. M., Mohamed I., Hussin A. G., "Outlier Detection in a Circular Regression Model", *Sains Malaysiana*, 44 (7) (2015) 1027-1032
13. Gould A. L., "A regression technique for angular data", *Biometrics*, 25 (1969) 683-700.
14. Johnson R. A., Wehrly T. E., "Some angular-linear distributions and related regression models", *Journal of the American Statistical Association*, 73 (1978) 602-606.
15. Fisher N. I., Lee A. J., "Regression models for an angular response", *Biometrics*, 48 (1992) 665-677.
16. Watson G. S., "Goodness-of-fit tests on the circle, *Biometrics*", 48 (1961)109-114.